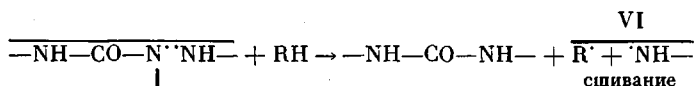


Радикальные пары IV и V стабилизируются в реакции с углеводородом полидиена (RH), по-видимому, по следующей схеме:



с образованием стабильных спивок. На воздухе радикальные пары типа VI с определенной вероятностью реагируют с растворенным в системе кислородом, что приводит к развитию термоокисления, которое может тормозиться введением стабилизаторов.

В вакууме, как следует из таблицы, стабилизаторы не влияют на скорость релаксации, что в рамках предложенной схемы деструкции свидетельствует об отсутствии реакции стабилизаторов с радикальными парами и согласуется с литературными данными [11] о способности классических антиоксидантов тормозить деструкцию с обрывом цепей лишь на кислород-центрированных радикалах. Отсутствие влияния добавок аминов и мочевин на кинетику химической релаксации напряжений в вакууме свидетельствует также о том, что радикальный механизм термических превращений в исследуемых резинах имеет доминирующий характер и другой возможный путь их деструкции, который должен ускоряться введением аминов, в исследуемых условиях несуществен.

Таким образом, установлено, что в ПДМУ при воздействии повышенных температур деструкция протекает по радикальному механизму. Термоокисление инициируется продуктами термораспада биуретовых и аллофанатных групп и может быть ингибирано известными стабилизаторами.

Авторы благодарны В. В. Седову за помощь в получении экспериментальных данных и обсуждении результатов работы.

Научно-исследовательский
институт шинной промышленности

Поступила в редакцию
2 VIII 1977

ЛИТЕРАТУРА

1. Н. П. Апухтина, Сб. Синтез и физико-химия полимеров, «Наукова думка», 1970, вып. 7, стр. 137.
2. Н. П. Апухтина, Э. Н. Сотникова, ЖВХО им. Д. И. Менделеева, 19, 661, 1974.
3. В. Г. Гольдер, В. Ш. Пастернак, И. М. Тункель, А. С. Лыкин, Л. С. Кофман, Промышленность СН, 1973, № 11, 10.
4. И. М. Тункель, Кандидатская диссертация, Москва, НИИШП, 1975.
5. Л. И. Дашевский, С. М. Кавун, А. С. Лыкин, Высокомолек. соед., A18, 2758, 1976.
6. Е. Г. Анисимова, З. Н. Котова, И. М. Тункель, Л. А. Галата, Каучук и резина, 1972, № 9, 7.
7. А. М. Снисаренко, З. Н. Тарасова, Каучук и резина, 1962, № 2, 37.
8. I. C. Kogon, J. Organ. Chem., 23, 1594, 1958.
9. В. К. Беляков, А. А. Берлин, И. И. Букин, В. А. Орлов, О. Г. Тараканов, Высокомолек. соед., A10, 599, 1968.
10. Ф. Файгль, Капельный анализ органических веществ, Госхимиздат, 1962, стр. 437.
11. И. Фойгт, Стабилизация синтетических полимеров против действия света и тепла, «Химия», 1972, стр. 84.

УДК 541.64:542.3

ОБ ИЗМЕНЕНИИ ОБЪЕМА СЕТЧАТЫХ ПОЛИМЕРОВ В ПРОЦЕССЕ НЕИЗОТЕРМИЧЕСКОГО ОТВЕРЖДЕНИЯ

Цыганков С. А., Гольдман А. Я.

Процесс изготовления композиционных материалов с применением полимеров сетчатого строения сопровождается образованием в них усадочных напряжений, которые необходимо учитывать при изучении дальнейшего поведения конструкций из этих материалов под действием различного рода

нагрузок [1–3]. Для расчета этих напряжений необходимо располагать данными о кинетике изменения объема полимера в процессе отверждения, протекающем обычно в неизотермических условиях. Однако в настоящее время все методы оценки и описания изменения объема ограничены частными рассмотрениями [4, 5].

В данной работе сделана попытка найти простые выражения, описывающие изменение объема сетчатых полимеров в процессе неизотермического отверждения.

При отверждении полимеров в условиях изменяющейся температуры протекают два конкурирующих процесса: тепловое расширение и усадка в процессе химической реакции. Тогда изменение объема можно выразить следующим уравнением:

$$V = V_t - V_i, \quad (1)$$

где V_t – изменение объема вследствие изменения температуры; V_i – изменение объема вследствие химической усадки.

Положим, что изменение усадки описывается кинетическим уравнением для реакции первого порядка. Тогда для изотермических условий отверждения уравнение, описывающее изменение объемной усадки полимера, будет иметь вид

$$V_i = V_0 [1 - \exp(-kt)] \quad (2)$$

Здесь V_0 – максимальное значение усадки при данной температуре отверждения; k – константа общей скорости процесса отверждения; t – время.

Рассмотрим следующую модель для описания изменения объема при неизотермическом отверждении. Пусть за промежуток времени ($t, t+\Delta t$) изменение объема вследствие химической усадки может быть представлено в форме

$$\Delta V_i = V_0 \{1 - \exp[-k(t+\Delta t)]\} - V_0 \{1 - \exp(-kt)\} \quad (3)$$

Здесь величины V_0 и k соответствуют температуре T , установившейся к моменту времени t , и остаются постоянными в течение времени ($t, t+\Delta t$). Считая промежуток времени ($t, t+\Delta t$) достаточно малым к соотношению (3), можно применить теорему Лагранжа: $\Delta V_i = (\partial V_i / \partial t) \Delta t$. Тогда изменение объема вследствие химической усадки в любой момент времени в процессе неизотермического отверждения можно выразить следующим образом:

$$V_i = \int_0^t V_0(T_i) k(T_i) \exp[-k(T_i)t] dt, \quad (4)$$

где $V_0(T_i)$, $k(T_i)$ – температурная зависимость максимальной усадки и константы общей скорости отверждения соответственно. Для наглядности на рис. 1, а, б для рассматриваемой модели приведен характер изменения химической усадки при неизотермическом отверждении. Типичные кривые усадки для различных значений температуры T ($T_1 < T_2 < T_3$) показаны на рис. 1, а. Предсказываемая кривая усадки при дискретном изменении температуры (рис. 1, б) представляет собой совокупность сегментов усадочных кривых при различных температурах, выделенных на рисунке жирной линией.

Изменение объема вследствие изменения температуры рассчитывается по формуле:

$$V_t = \int_0^T \alpha_T dT,$$

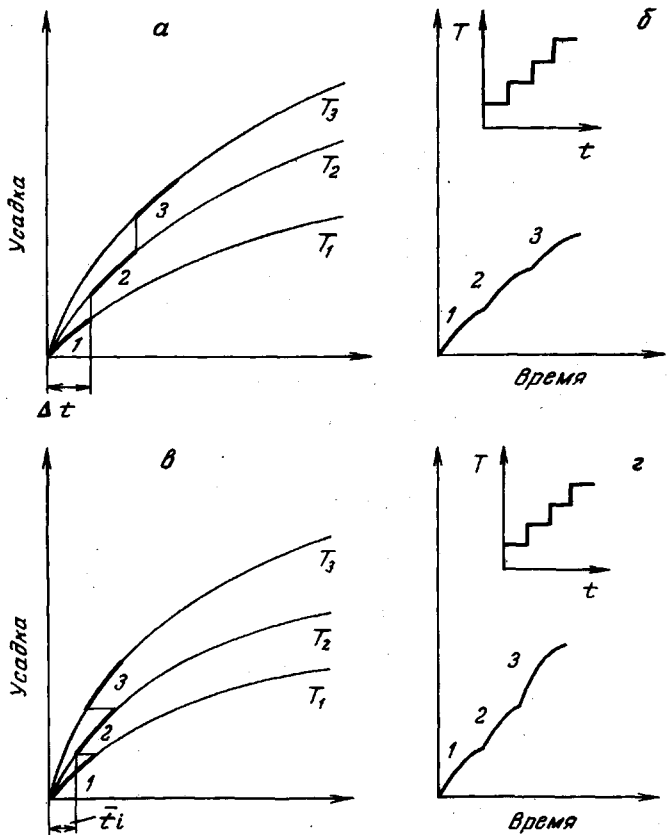


Рис. 1. Схемы изменения объема вследствие усадки при неизотермическом отверждении по первой (а, б) и второй моделям (с, д):

а, в — характеристические кривые усадки при постоянной температуре;
б, д — изменение усадки при дискретном изменении температуры

где α_t — коэффициент объемного расширения*. Согласно [5], коэффициент объемного расширения в процессе отверждения является функцией глубины (степени) отверждения, характеризующей плотность эффективных цепей сетки в единице объема. Ранее было показано [6], что химическая усадка материала является критерием глубины отверждения и ее можно вычислить с помощью простого соотношения

$$\eta = V_t / V_{\max}, \quad (5)$$

где V_{\max} — максимальная усадка материала во всем интервале температур отверждения.

Тогда, принимая во внимание [5], коэффициент объемного расширения в процессе неизотермического отверждения может быть представлен уравнением

$$\alpha_t = A - B\eta = A - \frac{B}{V_{\max}} \int_0^t V_0(T_i) k(T_i) \exp[-k(T_i)t] dt, \quad (6)$$

где A и B — параметры материала.

* В расчетах принимается, что $\alpha_t = 3\alpha_t^*$, где α_t^* — коэффициент линейного термического расширения.

Подставляя (4) и (6) в уравнение (1), получим

$$V = \int_0^{T_i} \left\{ A - \frac{B}{V_{0 \text{ макс}}} \int_0^t V_0(T_t) k(T_t) \exp[-k(T_t)t] dt \right\} dT_t - \\ - \int_0^t V_0(T_t) k(T_t) \exp[-k(T_t)t] dt \quad (7)$$

Рассмотренная модель для описания объема в процессе неизотермического отверждения достаточно проста. Она основана на том допущении, что при мгновенном изменении температуры мгновенно происходит и изменение состояния системы (рис. 1, б).

Рассмотрим другую возможность описания неизотермического процесса отверждения сетчатых полимеров, при котором увеличение усадки при дискретном изменении температуры происходит по схеме (рис. 1, в, г), более близкой к реальным условиям. В этом случае при мгновенном изменении температуры от T_1 до T_2 в момент времени t изменение усадки описывается кривой 2, начиная с уровня, достигнутого к моменту изменения температуры. Далее эта схема предполагается справедливой и при мгновенном изменении температуры от T_2 к T_3 и т. д. Сдвиг по времени \bar{t}_i (рис. 1, в), необходимый для расчета соответствующих сегментов, находится из равенства величин усадок двух соседних кривых. Уравнение для расчета i -го сегмента кривой усадки при неизотермическом отверждении в этом случае можно представить в следующем виде:

$$V_{t_i} = V_0(T_{t_i}) \{1 - \exp\{-k(T_{t_i})(\bar{t}_i + \Delta t)\}\}, \quad (8)$$

где \bar{t}_i — модифицированное время, рассчитываемое по уравнению

$$\bar{t}_i = - \frac{\ln \left\{ 1 - \frac{V_0(T_{t_{i-1}}) \{1 - \exp[-k(T_{t_{i-1}})(\bar{t}_{i-1} + \Delta t)]\}}{V_0(T_{t_i})} \right\}}{k(T_{t_i})}, \quad (9)$$

остальные обозначения те же, что и в уравнении (4). Тогда, аналогично уравнениям (6) и (7), изменение объема отверждающейся системы в момент времени $t_{i=n}$ можно рассчитать по уравнению

$$V = \sum_{i=1}^n \left\{ A - \frac{BV_0(T_{t_i})}{V_{0 \text{ макс}}} \{1 - \exp[-k(T_{t_i})(\bar{t}_i + \Delta t)]\} \right\} \Delta T - \\ - V_0(T_{t_n}) \{1 - \exp[-k(T_{t_n})(\bar{t}_n + \Delta t)]\} \quad (10)$$

Следует отметить, что полученные аналитические выражения (7) и (10) не учитывают экзотермический характер реакций отверждения, поэтому их необходимо рассматривать в качестве первого приближения.

Сравнение результатов расчета изменения объема в процессе неизотермического отверждения, выполненное с помощью двух предложенных моделей, было проведено на примере анализа процесса отверждения с момента гелеобразования эпоксидной композиции ЭХД+ТЭАТ (тетраглицидиловое производное дихлордиаминофенилметана и триэтаноламинитрат). Для расчета по уравнениям (7) и (10) данные по температурным зависимостям максимальной усадки и константы общей скорости отверждения были заимствованы из [7]. Величины параметров A и B определяли из экспериментальных данных по дилатометрии частично отверженных образцов. Были получены следующие значения: $A=300 \cdot 10^{-6} \text{ град}^{-1}$, $B=105 \cdot 10^{-6} \text{ град}^{-1}$. Расчет производили на ЭВМ для случая линейного изменения температуры, начиная с $T_{\text{нач}}=90^\circ$. Шаг дискретиза-

ции по времени варьировался от 0,01 до 0,1 часа. При этом было установлено, что, начиная с $\Delta t=0,05$ часа, уменьшение шага дискретизации ведет к незначительному повышению точности, поэтому это значение и было принято для расчета. Анализ результатов расчета (рис. 2) показывает, что расхождение расчетных кривых для этих моделей весьма существенно. Поскольку вторая расчетная модель ближе к реальным условиям, в дальнейшем будет использоваться лишь уравнение (10).

Качественный анализ полученных результатов рассмотрим на примере кривой 4 (рис. 2). В начальный период отверждения (до ≈ 3 час.) де-

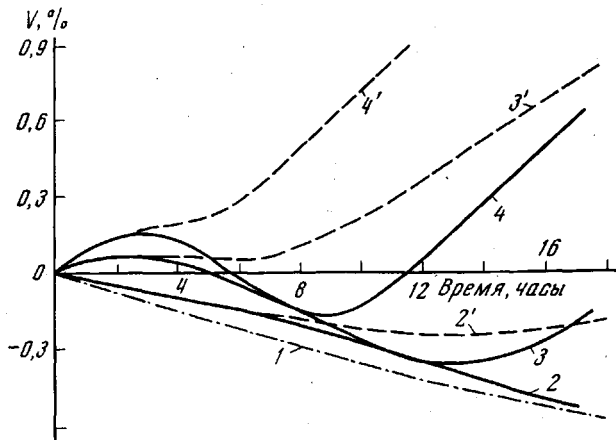


Рис. 2. Экспериментальная кривая изменения объема V эпоксидной композиции ЭХД+ТЭАТ в процессе изотермического отверждения при 90° (1) и расчетные кривые изменения объема полимера в процессе неизотермического отверждения при условии изменения температуры отверждения по линейному закону со скоростью $v_t=1$ (2, 2'), 3 (3, 3') и 5 град/час (4, 4'); 2'-4' — расчет по первой модели; 2-4 — по второй

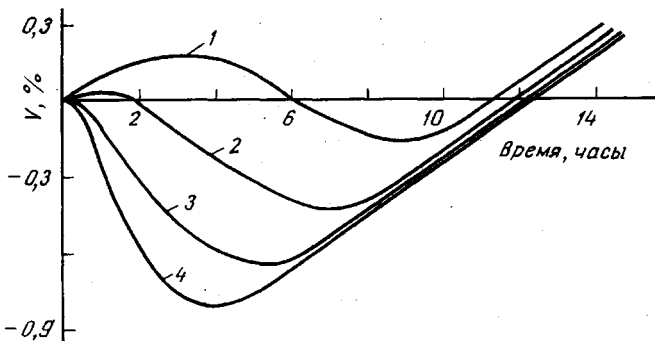


Рис. 3. Расчетные кривые изменения объема V эпоксидной композиции ЭХД+ТЭАТ при изменении температуры отверждения со скоростью $v_t=5$ град/час при $T_{\text{нач}}=90$ (1), 100 (2), 110 (3) и 120° (4)

формация теплового расширения значительно преобладает над усадочной. По мере увеличения глубины отверждения уменьшается величина коэффициента термического расширения, и наступает первое «равновесное» состояние, после которого усадочная деформация явно преобладает над деформацией теплового расширения. Через некоторое время наступает второе «равновесное» состояние (≈ 9 час.), которое объясняется окончанием процесса отверждения. При дальнейшем нагревании преобладает деформация теплового расширения, и кривая вновь поднимается вверх. Все

это качественно согласуется с экспериментальными данными, приведенными, например, в [8].

На рис. 3 представлены расчетные кривые изменения объема ЭХД+ +ТЭАТ с момента гелеобразования при изменении температуры отверждения со скоростью 5 град/час при различных начальных температурах $T_{\text{нач}}$. Видно, что с увеличением начальной температуры отверждения усадочная деформация преобладает над деформацией теплового расширения. Это и должно быть, ибо с ростом начальной температуры возрастает и скорость протекания реакции, и химическая усадка.

Таким образом, полученные аналитические зависимости качественно хорошо описывают кинетику изменения объема в процессе неизотермического отверждения и могут быть использованы, например, при расчете начальных напряжений в гетерогенных материалах.

Охтинское
научно-производственное объединение
«Пластполимер»

Поступила в редакцию
5 VIII 1977

ЛИТЕРАТУРА

1. В. Л. Поляков, Ю. А. Горбаткина, Физ.-химич. мех. материалов, 5, 94, 1969.
2. А. А. Абубов, Г. А. Молодцов, Механика полимеров, 1965, № 4, 76.
3. Н. А. Юречко, В. А. Линская, И. М. Шологон, В. П. Сорокин, Л. М. Богданова, Г. С. Заспинок, В. И. Иржак, Б. А. Розенберг, Высокомолек. соед., A19, 357, 1977.
4. А. Я. Гольдман, О. Е. Ольховик, Механика полимеров, 1972, 236.
5. О. Е. Ольховик, А. Я. Гольдман, Механика полимеров, 1973, 763.
6. Л. Н. Седов, Л. И. Зотов, Пласт. массы, 1967, № 7, 59.
7. О. Е. Ольховик, Л. В. Петрова, Э. С. Григорян, В. Е. Бахарева, Технология судостроения, 1975, № 2, 102.
8. А. Я. Гольдман, О. Е. Ольховик, Е. Н. Прокофьев, Пласт. массы, 1970, № 11, 65.

УДК 541.64:539.199:543.422.23

ИЗУЧЕНИЕ ХАРАКТЕРА ВЗАИМОДЕЙСТВИЯ И МОЛЕКУЛЯРНОЙ ПОДВИЖНОСТИ В СМЕСЯХ ЭЛАСТОМЕРОВ МЕТОДОМ ЯМР

**Новиков Н. А., Козлова В. И., Гамил-Оглы Ф. А.,
Зайцева В. Д.**

Для некоторых смесей полимеров физические характеристики индивидуальных компонентов (температура стеклования, удельный объем, вязкость разбавленных растворов и др.) обнаруживают отличные от аддитивных значения, указывающие на возможность взаимодействия их на сегментальном уровне [1-3].

Данные, полученные методом ЯМР, свидетельствуют о микрогетерогенности таких систем, но при этом отмечается неполное разделение фаз, т. е. существование промежуточных областей со взаимным проникновением полимерных сегментов [2]. Поэтому задача изучения свойств смесей полимеров включает исследование структуры таких переходных слоев и взаимосвязь ее с молекулярной подвижностью полимеров в смеси. С этой точки зрения представляет интерес изучить характер взаимодействия в смесях эластомеров, отличающихся по химическому строению и молекулярной подвижности.

В качестве объектов исследования выбраны смеси серийных неполярных и полярных эластомеров: 1) стереорегулярного полизопренового каучука СКИ-3 с полизобутиленом (ПИБ); 2) полихлоропренового каучука марки Неопрен М-40 с бутадиен-нитрильным СКН-40.